

# شیمی بیوتیت، دما-فسارسنگی و بررسی نقش آلومینیم کل بیوتیت در تشخیص کانی‌زایی در توده گرانیتوئیدی تویه- دروار، جنوب باختر دامغان، البرز خاوری

آذین نادری<sup>(۱)</sup>، حبیب‌الله قاسمی<sup>(۲)</sup> و لمبرینی پاپادوپولو<sup>(۳)</sup>

- دکتری پترولوزی، گروه پترولوزی، رئوشهیمی و زمین‌شناسی اقتصادی، دانشکده علوم زمین، دانشگاه صنعتی شاهرود، شاهرود، ایران
- استاد پترولوزی، گروه پترولوزی، رئوشهیمی و زمین‌شناسی اقتصادی، دانشکده علوم زمین، دانشگاه صنعتی شاهرود، شاهرود، ایران
- استادیار گروه کانی‌شناسی، پترولوزی و زمین‌شناسی اقتصادی، دانشگاه AUTs تالونیکی، یونان

تاریخ دریافت: ۹۷/۱۱/۲۰

تاریخ پذیرش: ۹۸/۰/۱۷

## چکیده

توده گرانیتوئیدی تویه-دروار در ۴۵ کیلومتری جنوب باختر دامغان در استان سمنان و در جنوب زون البرز خاوری واقع شده است. این توده در داخل واحدهای سنگی پالئوزویک پیشین (شامل سازندهای باروت و لالون) نفوذ کرده است. براساس شواهد صحرایی و سنگنگاری، این توده از مونزونیت، کوارتز-مونزونیت و مونزودیوریت تشکیل شده است. ترکیب کانی‌ای تووده شامل پلازیوکلاز، پاتسیم فلدسپار، کوارتز، بیوتیت و آمفیبول است. کانی‌های فرعی آن را ایلمنیت، مگنتیت، زیرکن، آپاتیت، تیتانیت، پیریت و کانی‌های ثانویه را سریسیت، اپیدوت، کلسیت و کلریت تشکیل می‌دهند. بیوتیت سرشار از آهن، شاخص تربین کانی آهن و منیزیم‌دار توده است که در محدوده بیوتیت‌های آلکالن و ناکوهزایی قرار می‌گیرد. میزان آلومینیم کل بیوتیت یک شاخص مهم برای تفکیک توده‌های گرانیتوئیدی بارور از نابارور است. وجود رگه‌های معدنی از اکسیدها و هیدروکسیدهای آهن و منگنز، فلوریت، باریت، سرب و روی در سنگ میزبان این توده نیز شاهدی بر راهگشا بودن ترکیب بیوتیت برای استفاده در بررسی توان کانه‌زایی این توده است. به کارگیری دماسنگی با استفاده از تیتانیت موجود در بیوتیت و فشارسنگی براساس آلومینیم کل بیوتیت، به ترتیب دماهای ۶۷۰-۷۳۰ درجه سانتی‌گراد و فشارهای کمتر از یک کیلوبارا برای توقف تبادل و تعادل نهایی این کانی در توده نفوذی تویه-دروار به دست داده است.

واژه‌های کلیدی: شیمی بیوتیت، دما-فسارسنگی، گرانیتوئید تویه-دروار، دامغان، البرز خاوری.

## مقدمه

فرمول عمومی بیوتیت  $X_2Y_4-6Z_8O_{20}(OH, F, Cl)_4$  است که جایگاه  $X$  با کاتیون‌های  $Ca, Ba, Rb, K, Na$  و نیز  $Z$  با  $Al, Fe^{+3}$  و  $Ti^{+4}$  جایگزین می‌شود. در جایگاه  $Y$  عناصری مانند  $Mg, Fe^{+2}$  و  $Si$  و احتمالاً  $Cr, Mn$  و  $Ti$  قرار می‌گیرند.

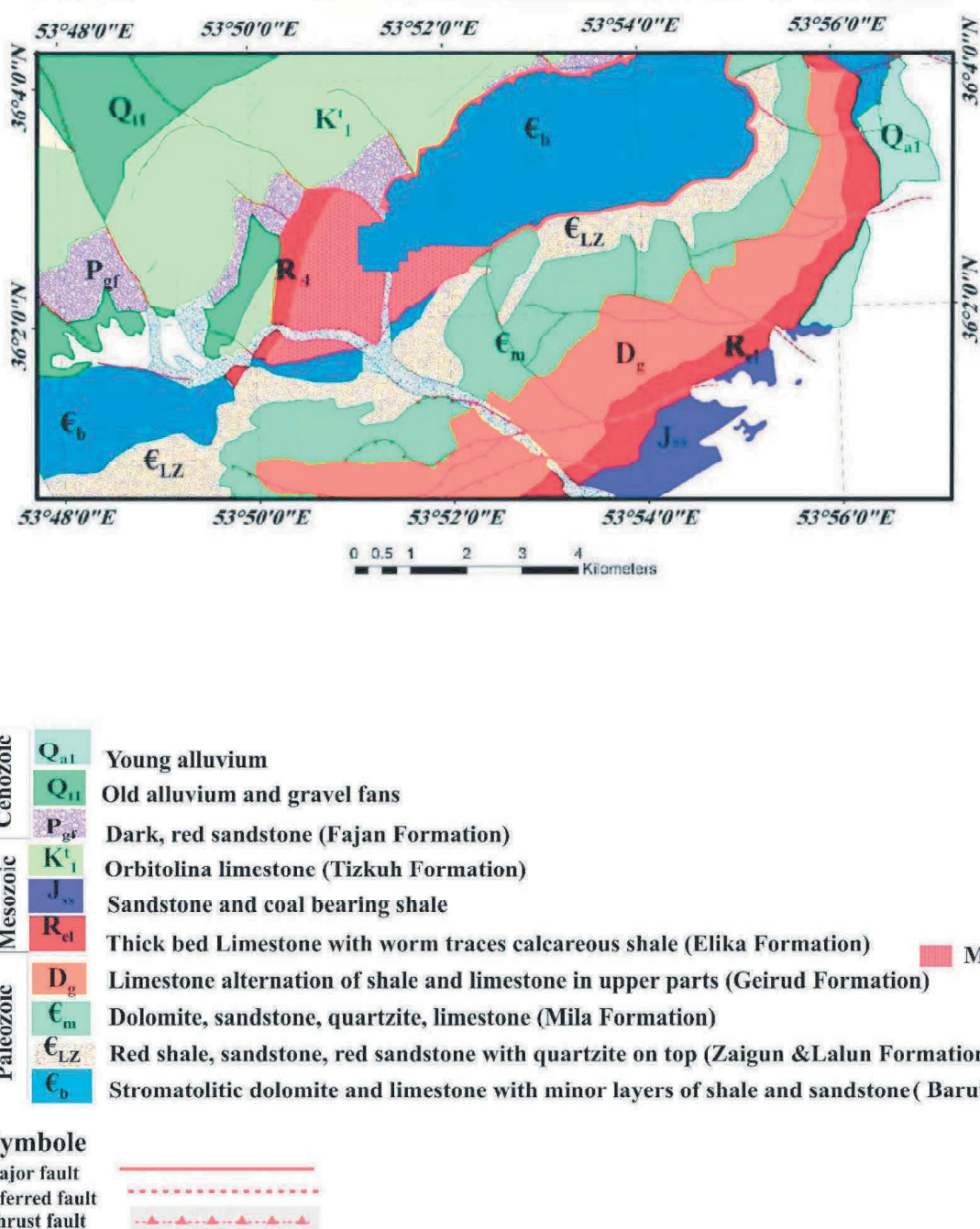
\* نویسنده مرتبط: naderiazar@yahoo.com

صحراوی و نقشه زمین‌شناسی ۱: کیاسر (سعیدی و اکبریور، ۱۳۷۱) سنگ‌های موجود در این منطقه شامل سنگ‌های رسوبی و آذرین هستند. پیکرهای رسوبی شامل واحدهای سنگی سازندهای باروت، زاگون، لالون، میلا و جیروود به سن پالئوزوئیک زیرین-میانی، الیکا و شمشک به سن مژوزوئیک و کنگلومرای فجن و بخش‌های رسوبی-آتشفسانی سازند کرج به سن ائوسن میانی-بالابی هستند (شکل ۱). سازند باروت (b€) از شیل‌های میکادار ارغوانی، همراه با میان لایه‌های ماسه‌سنگی و دولومیت‌های متبلور منظم تشکیل شده‌است. سازند زاگون (€z) کاملاً شیبیه باروت بوده با این تفاوت که فاقد لایه‌های دولومیتی می‌باشد. بنابراین، مرز این سازند از نقطه‌ای در نظر گرفته می‌شود که دولومیت‌ها حذف شده‌اند (درویش‌زاده، ۱۳۸۵). سازند لالون (€) از ماسه‌سنگ آركوزی و میان لایه‌های شیل و ماسه‌سنگ قرمز تشکیل شده‌است. واحد شیلی سازند لالون در ناحیه تویه-دروار با ناپیوستگی هم‌شیب روی واحد زیرین سازند لالون جای دارد و به صورت تدریجی به کوارتزیت بالابی تبدیل می‌شود. این واحد شیلی دارای رخساره تخریبی و دو افق کربناته با ضخامت کمتر از ۲ متر است (لامین رسولی، ۱۳۸۳). اگرچه در گذشته لایه کوارتزیتی سفیدرنگ رسولی، (۱۳۷۹)، لایه کلید سفیدرنگ کاملاً باز را بخش در حال حاضر، این لایه کلید سفیدرنگ کاملاً باز را بخش زیرین سازند می‌لار در نظر می‌گیرند (امین رسولی، ۱۳۷۸؛ لامین رسولی، ۱۳۷۹؛ لامین رسولی، ۱۳۷۹). توده نفوذی گرانیتوئیدی تویه-دروار به شکل گنبدی شکل با مساحت حدود ۳۰ کیلومتر مربع، در داخل آهک و دولومیت‌های استروماتولیتی سازند باروت نفوذ کرده و همچنین به صورت سیل و دایک در داخل سازند لالون دیده می‌شود (شکل ۲-الف، ب و چ). در مرز تماش توده با سازند باروت، رگمه‌هایی از کانی‌زایی آهن، فلورین، سرب و روی و باریت دیده می‌شود (شکل ۲-پ و ت). رسمی پایدار (۱۳۸۰)، ژنز کانسار فلورین (روی، سرب و باریت) را رسوبی-دیاژنتیک دانسته که ماده معدنی آن در ۴ افق در بالاترین بخش سازند سلطانیه و در ۶ متری قاعده سازند باروت قرار دارد. پاراژن افق اشامل F-Pb-Ba-Cu-Zn-Pb-F-Cu-Ba، افق‌های || و ||| شامل

سنگ‌شناسی ماقمای مادر مؤثر باشد. همچنین براساس جایگزینی اکسید سه عنصر اصلی می‌توان ترکیب شیمیایی بیوتیت را مشخص کرد. با استفاده از ترکیب شیمیایی بیوتیت می‌توان نوع و ماهیت ماقمای سازنده آن را تشخیص داد. Dear et al., 1992; Nachit et al., 2005) به دلیل ساختار ویژه بیوتیت (سهولت جایگزینی عناصر گوناگون در شبکه اتمی آن) از این کانی در دما-فشارسنجدی استفاده می‌شود (Putirka, Buda et al., 2004; Abdel-Rahman, 1994). سری ماقمایی و محیط زمین‌ساختی تشکیل توده می‌توان از حضور بیوتیت بهره جست (Abdel-Rahman, 1994). خانعلی‌زاده (۱۳۸۴) برای اولین بار در قالب پایان‌نامه کارشناسی ارشد به مطالعه پتروگرافی، ژئوشیمی و جایگاه تکتونیکی توده تویه-دروار پرداخته است. براساس این مطالعات، ترکیب این توده نفوذی کوارتز مونزونیتی تا کوارتز دیوریتی است. ایشان این گرانیتوئید را نوع A1 و زیرگروه A1 (وابسته به ماقمایی کافتی درون ورقه‌ای) در ارتباط با آغاز تشکیل حوضه اقیانوسی پالئوتیس معرفی کرده‌اند. نظر به اینکه تنها مطالعه انجام شده بر روی توده گرانیتوئیدی تویه-دروار استفاده از مطالعات صحراء، پتروگرافی و ژئوشیمی عناصر اصلی و کمیاب بوده است و از آنجا که بهترین روش برای تعیین ماهیت گرانیتوئیدها استفاده از روش‌های دقیق شیمی کانی‌هاست، لذا در این پژوهش تلاش شده است تا با استفاده از ترکیب شیمیایی دقیق کانی بیوتیت و استفاده از آن در برآوردهای زمین دما-فشارسنجدی، عمق جایگیری و توان کانه‌زایی این توده نفوذی را برآورد کرد.

## موقعیت جغرافیایی و زمین‌شناسی

توده نفوذی تویه-دروار در محدوده طول‌های جغرافیایی ۳۶° تا ۳۷° خاوری و عرض‌های جغرافیایی ۵۳° تا ۵۷° شمالی، در شمال روسیه-دروار در ۵۰ کیلومتری جنوب باختر دامغان در استان سمنان واقع شده است. این توده در محدوده نقشه زمین‌شناسی ۱:۱۰۰۰۰ کیاسر (اکبریور و سعیدی، ۱۳۷۱) قرار دارد. در تقسیم‌بندی ساختاری واحدهای ایران (Stocklin, 1968) این منطقه در دامنه جنوبی زون البرز خاوری قرار دارد. براساس مشاهدات



شکل ۱. نقشه زمین‌شناسی ۱:۱۰۰۰۰ منطقه تویه-دروار که با استفاده از داده‌های ماهواره‌ای لندست و برداشت‌های صحرایی تهیه شده است

کربناتی هستند و از پایین به بالا شامل دولومیت زیرین، سنگ‌های تخریبی و کربناتی، آهک ضخیم لایه فسیل دار، کلسی-آواری و سیلیسی-آواری می‌باشند (امین رسولی، ۱۳۹۳). سنگ‌شناسی واحدهای مختلف سازند جیرود از قدیم به جدید شامل کنگلومرا، شیل، ماسه‌سنگ، دولومیت و آهک است که ضخامت بخش دولومیتی آن ۳۰ متر است

و افق ۷ شامل F-Pb است. سازند میلا (€m) دارای ۵ بخش است. پیش روی دریایی کامبرین میانی-اردوبیسین آغازین به تشکیل بخش‌های ۱ تا ۳ این سازند در کوههای البرز منجر شده است. این توالی (بخش‌های ۱ تا ۳) با ناپیوستگی هم‌شیب در میان واحد کوارتزیت بالایی سازند لalon و بخش ۴ سازند میلا واقع شده است. بخش‌های ۱ تا ۳ از نوع آواری

میزبان توده به هیچ عنوان سازند جیرود نیست و دولومیت‌ها و آهک‌های سازنده‌های سلطانیه و باروت است و بنابراین، سن توده باید قدیمی‌تر و احتمالاً پالئوزوئیک زیرین باشد. اما بر اساس مطالعات صحرایی این پژوهش، اگرچه توده در داخل سازنده‌های باروت و لالون نفوذ کرده و بر اساس روابط چینه‌شناختی، سن آن به بعد از پالئوزوئیک پیشین مربوط است ولی با توجه به نتایج سن سنگی ایزوتوپی به روش اورانیم-سرب بر روی کانه زیرکن، سن توده، اواخر کربنیفر زیرین (یعنی حدود  $328 \pm 8$  میلیون سال) به دست آمده است (Naderi et al., 2018).

(قوچی اصل، ۱۳۸۳). در شمال توده نفوذی، سازند الیکا (Re) با امتداد شمال شرق-جنوب غرب و شبیه ۶۵ تا ۹۰ درجه بر روی سازند باروت و توده گرانیت‌وئیدی رانده شده است. این توده اگرچه در ظاهر یکنواخت به نظر می‌رسد، اما در بعضی قسمت‌ها، سری‌های تفرقی یافته‌تر نیز در آن مشاهده می‌شود (شکل ۲-ج). پتولوژی و ژئوشیمی سنگ‌های توده نفوذی (شکل ۲-ج) مطالعه شده است. در نقشه ۱:۱۰۰۰۰ کیاسر (سعیدی و اکبریور، ۱۳۷۱) این توده را به صورت نفوذی در داخل سازند جیرود معرفی کرداند و سن دونین را به آن نسبت داده‌اند، اما بر اساس مطالعات صحرایی و پتروگرافی (قاسمی و خانعلی‌زاده، ۱۳۹۱) سنگ



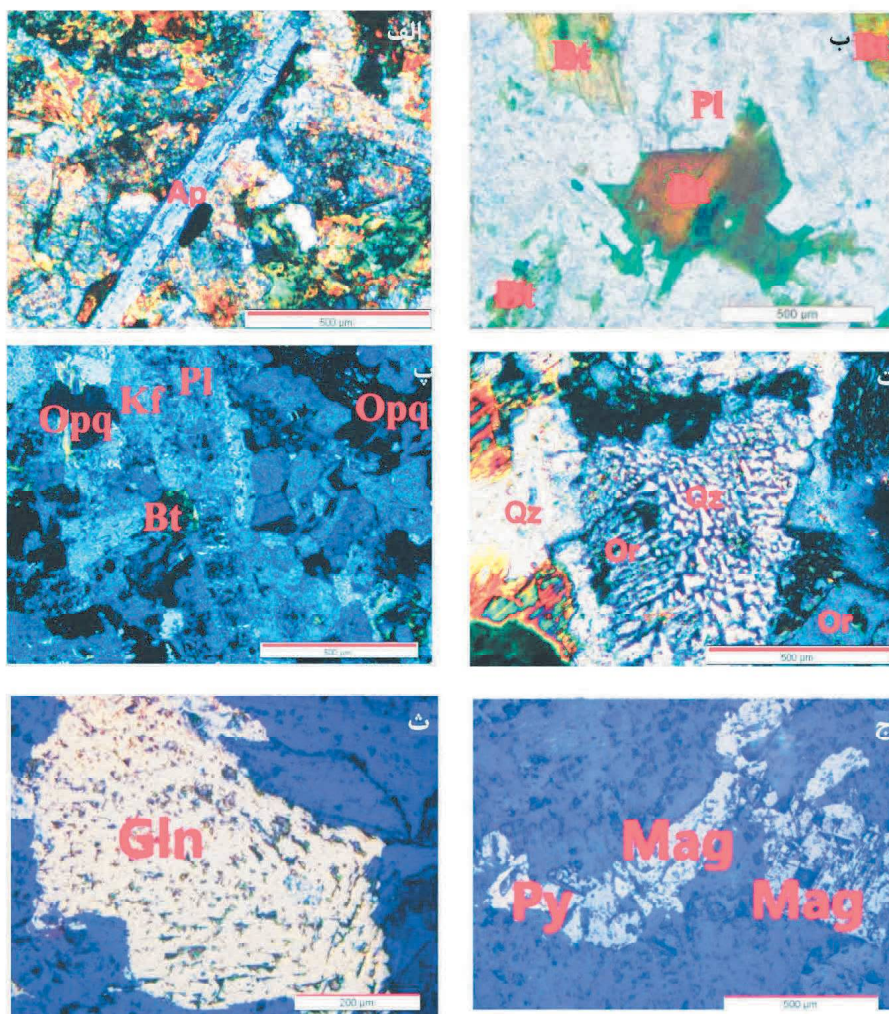
شکل ۲. روابط صحرایی توده نفوذی با سنگ‌های میزبان. (الف) نمای کلی از راندگی سازند الیکا بر روی توده نفوذی و نفوذ توده داخل سازند باروت، دید به سمت شمال، (ب) نمای کلی از آهک، دولومیت استروماتولیت دار، شیل و ماسه سنگ سازند باروت، دید به سمت خاور، (پ) تزریق توده در سازند باروت و ایجاد کانه‌زایی آهن و منگنز در آن، دید به سمت شمال، (ت) نمایی نزدیک از کانه‌زایی آهن و منگنز در محل تماس توده با سازند باروت، دید به سمت شمال، (ج) نمایی نزدیک از بخش تفرقی یافته توده گرانو-دیوریتی، دید به سمت خاور، (ج) نفوذ توده در ماسه سنگ‌های لالون، دید به سمت خاور

## سنگنگاری توده نفوذی

تحلیل رفتگی پلازیوکلاز در اثر واکنش با شاره‌های سرشار از پتاسیم است که درنهایت به تشکیل ارتوکلاز در اطراف پلازیوکلاز منجر شده است (شکل ۳-پ). ارتوکلاز، دومین کانی فراوان (با میانگین حجمی  $50\text{--}35$  درصد و با اندازه  $2\text{--}5$  میلی‌متر) در این توده است که به صورت ناخودشکل و با بافت پرتهی دیده می‌شود. تشکیل این بافت را ناشی از پایین بودن فشارکل یا فشار آب پایین می‌دانند (Blatt et al., 2006).

کوارتز هم در مقادیر ( $17\text{--}5$  درصد حجمی)، به صورت ناخودشکل در بین بلورهای پلازیوکلاز، ارتوکلاز و کانی‌های دیگر دیده می‌شود. البته این کانی به شکل گرانوفیری، میکروگرافیک و میرمکیتی نیز در بخش‌های مختلف توده

بر طبق مطالعات پتروگرافی، سنگ‌های توده نفوذی تویه-دروار شامل مونزونیت، کوارتزمونزونیت و مونزودیوریت هستند. از نظر کانی‌شناسی، این سنگ‌ها از نسبت‌های مختلفی از پلازیوکلازهای نیمه‌خودشکل و ارتوکلازهای غالباً پرتهی، همراه با مقادیر متغیری از آمفیبول، بیوتیت و کوارتز تشکیل شده‌اند. پلازیوکلاز، فراوان‌ترین کانی موجود در این سنگ‌های است (با میانگین حجمی  $40\text{--}60$  درصد و اندازه بلوری  $1\text{--}10$  میلی‌متر) که به صورت دانه‌های تیغه‌ای نیمه‌خودشکل با درجه‌های مختلفی از سوسوریتی شدن دیده می‌شود و گاهی وقت‌ها دارای پوششی از ارتوکلاز است.



شکل ۳. تصاویر میکروسکوپی از نمونه‌های گرانیتوئید تویه‌دروار. (الف) آپاتیت سوزنی شکل در نمونه مونزونیتی (XPL)، (ب) بیوتیت در نمونه مونزودیوریتی (XPL)، (پ) تحلیل رفتگی پلازیوکلاز در اثر واکنش شاره‌های سرشار از پتاسیم و تشکل پوششی از ارتوکلاز در اطراف پلازیوکلاز گرانوفیری در نمونه کوارتزمونزونیتی (XPL)، (ت) بافت گرافیک در نمونه مونزودیوریتی (XPL)، (ث) تصویر میکروسکوپی از کانی گالن در یک نمونه مونزونیتی، (ج) تصویر میکروسکوپی از کانی‌های مگنتیت و پیریت در یک نمونه مونزودیوریتی

شد. تجزیه شیمیایی کانی‌ها با دستگاه مایکروپرورب الکترونی SEM (JEOL JSM-840A, Tokyo, Japan), EDS (INCA 250, Oxford) با ولتاژ شتابدهنده ۲۰ kV و جریان ۴ mA در آزمایشگاه پترولوزی-کانی‌شناسی و زمین‌شناسی اقتصادی AUTH دانشگاه Thessaloniki کشور یونان انجام گرفته است (جدول ۱).

برای آنالیز SEM نمونه‌ها پوشش کریں آن‌ها با میانگین ضخامت ۲۰۰ Å با استفاده از محفظه بخار 4x JEOL انجام شد. تصاویر الکترونی از کانی‌ها، به منظور تشخیص مناطقی با ترکیب شیمیایی متفاوت گرفته شد.

## بحث و بررسی شیمی بیوتیت

نتایج آنالیز تعدادی از بیوتیتهاي موجود در توده گرانیتوئیدی تویه-دروار در جدول ۱ آورده شده است. (Nachit et al., 2005) در نمودار متنشی اکسیدهای عناصر اصلی ( $MgO$ ,  $TiO_2$ ,  $FeO^*$  =  $(FeO+MnO)$ ) را از بیوتیتهاي اوليه حاصل از تبلور ماقما (محدوده A) را از بیوتیتهاي حاصل از دگرسانی (محدوده B) و بیوتیتهاي حاصل از تبلور دوباره (محدوده C) جدا کرده‌اند. همان‌طور که می‌دانیم بیوتیتهاي ماگمایي در مراحل میانی و نهایي تبلور ماگما هم‌زمان با تبلور هورنبلند تشکيل می‌شوند. در مقاطع نازک میکروسکوپي انواع بیوتیتها را می‌توان به خوبی از يكديگر تفکيک کرد. بیوتیتهاي اوليه، خودشكلي هستند، داراي تيتانيوم بيشتر با رنگ قهوه‌اي تيره و با چندرنگي شديد مشخص می‌شوند، در حالی که بیوتیتهاي حاصل از تبلور دوباره، روشن‌تر هستند و يا چندرنگي ضعيفي را نشان می‌دهند. بیوتیتهاي حاصل از دگرسانی، شكل نامنظم دارند، به رنگ سبز ديده می‌شوند و آثار کانی اولیه در آن‌ها دیده می‌شود. در نمودار شکل ۴ (Nachit et al., 2005) برای صحت پژوهش فقط از داده‌های بیوتیتهاي حاصل از تبلور ماگما استفاده شده است. برای بررسی شرایط تشکيل سنگ‌های ماگمایي می‌توان از ترکيب بیوتیتها استفاده کرد. بنابراین، ترکيب شیمیایي بیوتیت بازتابدهنده شرایط تبلور ماگماست. ابتدا (1960) Foster و بعد از آن

دیده می‌شود. حضور بافت گرانوفیری، جایگزینی توده در عمق کم را نشان می‌دهد. اين بافت، حاصل هم‌رشدي کوارتز و فلدسبار پتاسیم از يك مذاب سیلیسی در نقطه یوتکتیک است (Morgan and London, 2012). بافت گرافیکی هنگامی شکل می‌گيرد که بلورهای کوارتز با محور بلورشناسی واحد به اشكالی شبیه خطوط میخی همراه با بلورهای فلدسبار پتاسیم رشد و تبلور یابند (شکل ۳-ت). بافت میرمکیتی نیز شامل هم‌رشدي کوارتزهای کرمی شکل و پلازیوکلاز است که در اثر تبلور مستقیم در طول دگریختن، متاسوماتیسم یا اکسلوشن ایجاد می‌گردد (Pitcher, 1997). بافت دانه‌ای، بافت غالب در بیشتر بخش‌های توده است. بیوتیت و هورنبلند، فازهای آهن و منیزیم دار در گرانیتوئیدی تویه-دروار هستند که ۳۵-۲۰ درصد حجمی سنگ را تشکيل می‌دهند. بیوتیت با اندازه ۳ تا ۸ میلی‌متر، نیمه‌خودشكلي است و در برخی موارد به کلریت دگرسان شده است (شکل ۳-ب). هورنبلند، به صورت منشوری شکل است و در بعضی نمونه‌ها به کلریت، کلسیت و اپیدوت دگرسان شده است. کانی‌های فرعی موجود در توده شامل آپاتیت، اسفن، زیرکن و کانی‌های اپک (مگنتیت، هماتیت، گالن و پیریت) هستند که در بین کانی‌های اصلی دیده می‌شوند (شکل ۳-ث و ج). در بعضی از نمونه‌ها، آپاتیت سوزنی شکل دیده می‌شود (شکل ۳-الف). آپاتیت سوزنی ممکن است از مذاب‌های بین بلوری در هر مرحله‌ای از تبلور ایجاد شود (Vernon, 2004). همچنان، از تبلور و سرد شدن سریع و موضعی ماگمای مافیک داغ آمیخته شده با ماگمای فلسیک نسبتا سردتر، تشکيل می‌شوند (Brown, 2001). کانی‌های ثانویه شامل کلریت، اپیدوت، اسفن، کانی‌های اپک (هماتیت، مگنتیت، پیریت و گالن)، سریسیت، کانی‌های رسی و کلسیت هستند.

## روش مطالعه

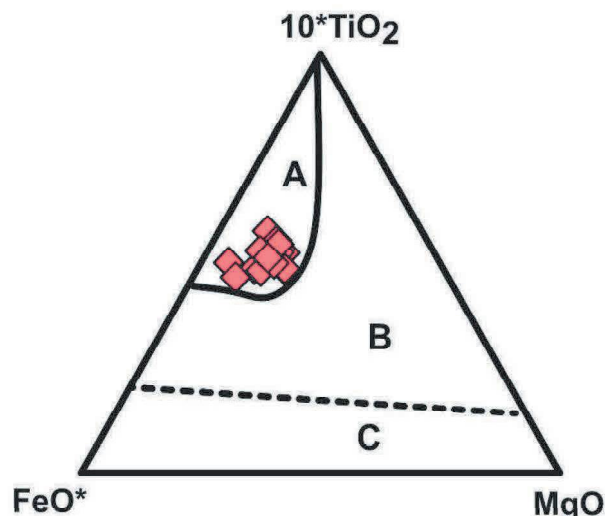
به منظور دستیابی به اهداف این پژوهش، پس از بازدیدهای صحرابی از رخنمونه‌ای مختلف توده گرانیتوئیدی تویه-دروار، تعداد ۱۲۰ نمونه سنگی از بخش‌های مختلف توده برداشت شد. از این نمونه‌ها، ۸۰ مقطع نازک برای بررسی‌های سنگ‌شناختی و تعداد ۱۶ مقطع نازک-صیقلی برای آنالیز مایکروپرورب تهیه

جدول ۱. نتایج آنالیز ریز پردازش الکترونی از کانی بیوتیت در توده گرانیتوئیدی تویه دروار (W)، فرمول ساختاری بر اساس ۲۲ اتم اکسیژن محاسبه شده است

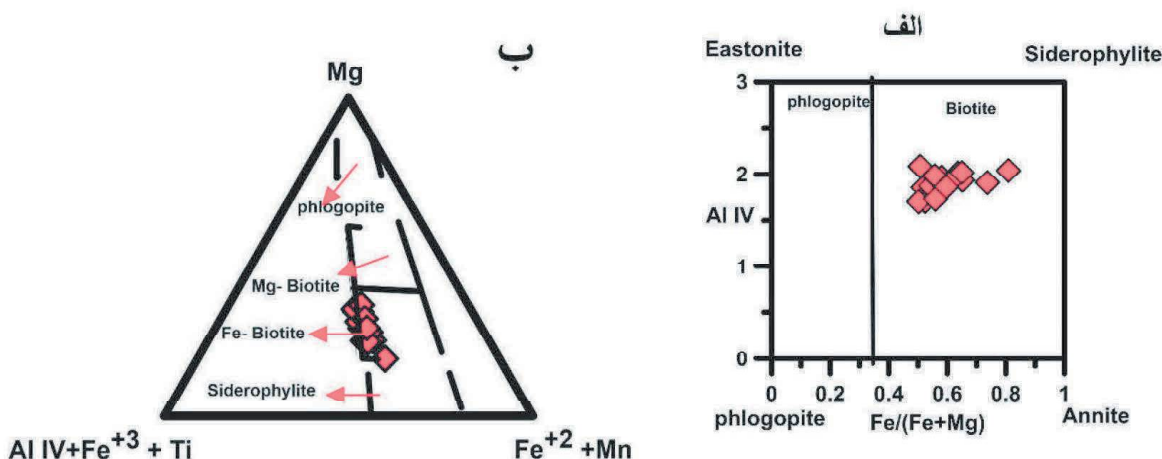
	مونزونیت	کوارتمونزونیت	مونزودیوریت
$\text{SiO}_2$	۳۸/۸۳ ۳۶/۰۶ ۴۱/۴۹ ۴۰/۷۸ ۳۸/۲۲ ۴۰/۱۹ ۳۹/۳۲ ۳۹/۳۷ ۳۸/۷۴ ۴۱/۷۹ ۳۸/۷۸ ۳۹/۲۲ ۳۸/۳۳ ۴۱/۱۳ ۳۹/۳۰ ۳۸/۳۲		
$\text{TiO}_2$	۳/۳۶ ۳/۶۵ ۳/۳۵ ۳/۳۶ ۴/۲۵ ۳/۵۱ ۳/۹۳ ۳/۸۰ ۳/۱۱ ۲/۹۴ ۳/۱۰ ۳/۰۳ ۳/۶۰ ۳/۰۵ ۳/۳۲ ۲/۹۲		
$\text{Al}_2\text{O}_3$	۱۲/۲۷ ۱۷/۶۲ ۱۰/۳۸ ۱۱/۰۶ ۱۱/۰۰ ۱۰/۵۶ ۱۰/۸۰ ۱۱/۲۷ ۱۱/۸۰ ۱۰/۷۰ ۱۰/۵۶ ۱۰/۸۵ ۱۱/۲۵ ۱۰/۶۳ ۱۰/۳۸ ۱۰/۳۳		
$\text{FeO}$	۲۹/۱۱ ۲۷/۸۲ ۱۹/۷۶ ۱۹/۹۷ ۲۳/۳۹ ۲۱/۳۶ ۲۲/۱۶ ۲۱/۹۷ ۲۱/۲۲ ۱۹/۶۵ ۲۵/۰۵ ۲۳/۷۱ ۲۴/۵۴ ۲۱/۰۷ ۲۲/۸۳ ۲۷/۷۵		
$\text{MnO}$	۰/۴۳ ۰/۵۸ ۰/۳۸ ۰ ۰/۳۶ ۰/۲۷ ۰/۱۹ ۰ ۰/۲۹ ۰ ۰/۴۰ ۰ ۰/۰۶ ۰ ۰		
$\text{MgO}$	۳/۸۷ ۸/۸۶ ۱۰/۰۶ ۱۰/۴۵ ۷/۴۹ ۱۰/۱۲ ۹/۳۳ ۹/۷۸ ۸/۸۷ ۱۰/۹۲ ۷/۵۰ ۸/۴۱ ۷/۴۱ ۹/۳۲ ۸/۶۷ ۵/۵۷		
$\text{CaO}$	۰/۰۴ ۰/۲۱ ۰ ۰/۰۹ ۰/۲۸ ۰/۰۳ ۰/۲۳ ۰/۲۴ ۰ ۰/۱۹ ۰ ۰/۰۲ ۰/۰۲ ۰/۰۱ ۰/۰۶		
$\text{Na}_2\text{O}$	۰/۰۸ ۰/۲۷ ۰/۲۷ ۰/۵۵ ۰ ۰/۵۳ ۰ ۰/۱۶ ۰/۱۹ ۰/۰۱ ۰ ۰/۲۸ ۰/۲۴ ۰/۳۸ ۰/۰۴ ۰		
$\text{K}_2\text{O}$	۸/۸۱ ۷/۷۲ ۹/۰۲ ۹/۲۷ ۸/۷۰ ۹/۲۹ ۸/۷۸ ۹/۰۲ ۸/۵۵ ۹/۰۸ ۸/۸۶ ۸/۵۹ ۸/۷۱ ۹/۶۶ ۹/۳۷ ۷/۶۱		
$\text{Cr}_2\text{O}_3$	۰ ۰ ۰ ۰/۲۸ ۰ ۰ ۰ ۰/۱۸ ۰/۰۸ ۰/۱۰ ۰/۱۰ ۰/۳۵ ۰ ۰ ۰/۵۱		
Cl	۳/۲۲ ۱/۱۴ ۰/۹۶ ۰/۷۳ ۱/۶۰ ۰/۲۷ ۰/۴۷ ۰/۵۴ ۰/۳۸ ۰/۲۴ ۱/۹۷ ۱/۳۹ ۱/۴۵ ۰/۶۸ ۱/۰۲ ۲/۴۹		
Total	۹۷/۸۰ ۹۴/۹۲ ۹۵/۶۲ ۹۶/۵۳ ۹۵/۲۸ ۹۶/۱۳ ۹۵/۲۱ ۹۶/۱۵ ۹۵/۷۵ ۹۵/۷۰ ۹۶/۱۰ ۹۵/۹۸ ۹۵/۱۹ ۹۵/۹۹ ۹۴/۹۴ ۹۵/۵۴		
Si	۵/۹۶ ۶/۰۳ ۶/۲۹ ۶/۱۵ ۵/۹۸ ۶/۱۳ ۶/۰۷ ۶/۰۲ ۵/۹۱ ۶/۳۰ ۶/۰۷ ۶/۰۸ ۵/۹۸ ۶/۲۷ ۶/۱۴ ۶/۰۹		
Ti	۰/۳۹ ۰/۴۲ ۰/۳۸ ۰/۳۸ ۰/۵۰ ۰/۴۰ ۰/۴۶ ۰/۴۴ ۰/۳۶ ۰/۳۳ ۰/۳۵ ۰/۴۲ ۰/۳۵ ۰/۳۹ ۰/۳۹ ۰/۳۵		
Al	۲/۲۲ ۲/۱۱ ۱/۸۶ ۱/۹۷ ۲/۰۳ ۱/۹۰ ۱/۹۷ ۲/۰۳ ۲/۱۲ ۱/۹۰ ۱/۹۵ ۱/۹۸ ۲/۰۷ ۱/۹۱ ۱/۹۱ ۱/۹۳		
AlIV	۲/۰۴ ۱/۹۷ ۱/۷۱ ۱/۸۵ ۲/۰۲ ۱/۸۷ ۱/۹۳ ۱/۹۸ ۹/۰۲ ۱/۷۰ ۱/۹۳ ۱/۹۲ ۲/۰۲ ۱/۷۳ ۱/۸۶ ۱/۹۱		
AlVI	۰/۱۸ ۰/۱۵ ۰/۱۵ ۰/۱۱ ۰/۰۱ ۰/۰۳ ۰/۰۴ ۰/۰۵ ۰/۰۳ ۰/۰۲ ۰/۰۱ ۰/۰۶ ۰/۰۵ ۰/۱۸ ۰/۰۵ ۰/۰۳		
$\text{Fe}^{+2}$	۳/۷۴ ۲/۸۲ ۲/۵۱ ۲/۵۲ ۳/۰۶ ۲/۷۳ ۲/۸۶ ۲/۸۱ ۲/۷۱ ۲/۴۸ ۲/۲۸ ۳/۰۷ ۳/۲۰ ۲/۶۹ ۲/۹۸ ۳/۶۳		
$\text{Fe}^{+3}$	۰ ۰ ۰ ۰ ۰ ۰ ۰ ۰ ۰ ۰ ۰ ۰ ۰ ۰ ۰ ۰		
Mn	۰/۰۶ ۰/۰۸ ۰/۰۵ ۰ ۰/۰۵ ۰/۰۳ ۰/۰۲ ۰ ۰/۰۴ ۰ ۰/۰۵ ۰ ۰/۰۱ ۰ ۰		
Ca	۰/۰۱ ۰/۰۳ ۰ ۰/۰۱ ۰/۰۵ ۰ ۰/۰۴ ۰/۰۴ ۰ ۰/۰۳ ۰ ۰/۰۳ ۰ ۰ ۰/۰۱ ۰/۰۱		
Na	۰/۰۲ ۰/۰۸ ۰/۲۱ ۰/۱۶ ۰ ۰/۱۶ ۰ ۰/۰۵ ۰/۰۶ ۰ ۰/۰۸ ۰/۰۷ ۰/۱۱ ۰/۰۱ ۰		
K	۱/۷۷ ۱/۵۲ ۱/۷۴ ۱/۷۸ ۱/۷۴ ۱/۸۱ ۱/۷۳ ۱/۷۶ ۱/۶۶ ۱/۷۵ ۱/۷۷ ۱/۷۰ ۱/۷۳ ۱/۸۸ ۱/۸۷ ۱/۵۴		
Mg	۰/۸۹ ۲/۰۴ ۲/۲۷ ۲/۳۵ ۱/۷۵ ۲/۳۰ ۲/۱۵ ۲/۲۳ ۲/۶۳ ۲/۴۵ ۱/۷۵ ۱/۹۴ ۱/۷۲ ۲/۱۲ ۲/۰۲ ۱/۳۲		

آهن دار قرار می‌گیرد (شکل ۵-ب). ترکیب بیوتیت در سنگهای گرانیتوئیدی بستگی به ترکیب ماقمای والد، فوکاسیته اکسیژن (Partin et al., 1983) (Partin et al., 1983; Abbott and Clarke, 1979) و خاستگاه گرانیت دارد (Abdel-Rahman, 1994; Nachit et al., 2005). بیوتیت‌ها، قادر به جذب آلومینیم در سنگهای گرانیتی فاقد گارنت و کانی‌های آلومینوسیلیکاته هستند (Shabani et al., 2003).

Speer (1984) با توجه به تغییرات  $\text{Fe}/(\text{Fe}+\text{Mg})$  میکاها، چهارگوش آنیت، سیدروفیلیت، فلوگوپیت و ایستونیت را به صورت ASPE برای نشان دادن ترکیب این کانی‌ها ارائه دادند (Rieder, 1984; Speer, 1984; Riedler, 1999). بر اساس نمودار تقسیم‌بندی سه‌تایی (Foster, 1960) نمونه‌های بیوتیت توده تویه دروار در محدوده بیوتیت قرار می‌گیرد (شکل ۵-الف). همچنین در نمودار تقسیم‌بندی سه‌تایی (Foster, 1960) ترکیب شیمایی نمونه‌های بیوتیت توده تویه دروار در محدوده بیوتیت‌ها



شکل ۴. موقعیت بیوتیت‌های توده‌گرانیتوئیدی تویه‌دروار در نمودار ردمبندی انواع بیوتیت‌های اولیه و ماقمایی (محدوده A)، بیوتیت‌های حاصل از دگرسانی (محدوده B) و بیوتیت‌های حاصل از تبلور دوباره (محدوده C)، (Nachit et al., 2005)



شکل ۵. موقعیت بیوتیت‌های توده‌گرانیتوئیدی تویه‌دروار در نمودار طبقه‌بندی میکاها برپایه ترکیب شیمیابی آن‌ها. (الف) (Rieder et al., 1999)، (ب) (Foster, 1960)

ماگمایی است که از آن متبلور شده است. در این مطالعه از نمودار  $Mg$  در مقابل  $Al$  (Nachit et al., 1985) و  $FeO^*$  (Abdel-Rahman, 1994) برای تعیین سری ماگمایی استفاده شده است. در این نمودارها، ماگمای سازنده بیوتیت‌های توده‌گرانیتوئیدی تویه‌دروار در سری آکالان قرار می‌گیرند (شکل ۶-الف و ب).

همچنین از بیوتیت می‌توان به عنوان یک معیار مناسب برای شناخت محیط زمین‌ساختی تشکیل گرانیتوئیدها استفاده کرد (Abdel-Rahman, 1994) با استفاده از اکسیدهای عناصر اصلی  $Al_2O_3$ ,  $MgO$ ,  $FeO^*$ ،  $SiO_2$  بیوتیت،

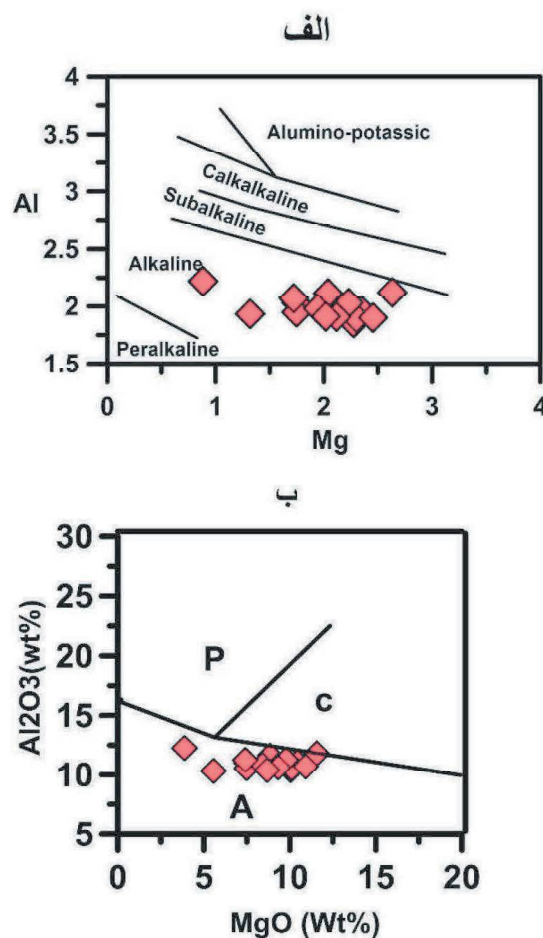
## تعیین سری ماگمایی و جایگاه زمین ساختی تشکیل گرانیتوئیدهای بیوتیت‌دار

ترکیب شیمیابی کانی‌های سازنده سنگ می‌تواند در تعیین سری ماگمایی آن نقش مهمی داشته باشد، لذا در این مطالعه از ترکیب شیمیابی بیوتیت‌ها جهت بررسی ماهیت ماگمای سازنده سنگ‌های توده‌گرانیتوئیدی تویه‌دروار استفاده شده است. مطالعات زیادی وجود دارند که در آن‌ها از بیوتیت‌ها به عنوان ابزاری سودمند در تعیین سری ماگمایی استفاده شده است. زمانی که بیوتیت به طور پیوسته در حال تعادل با ماگمای میزان است، ترکیب آن منعکس کننده

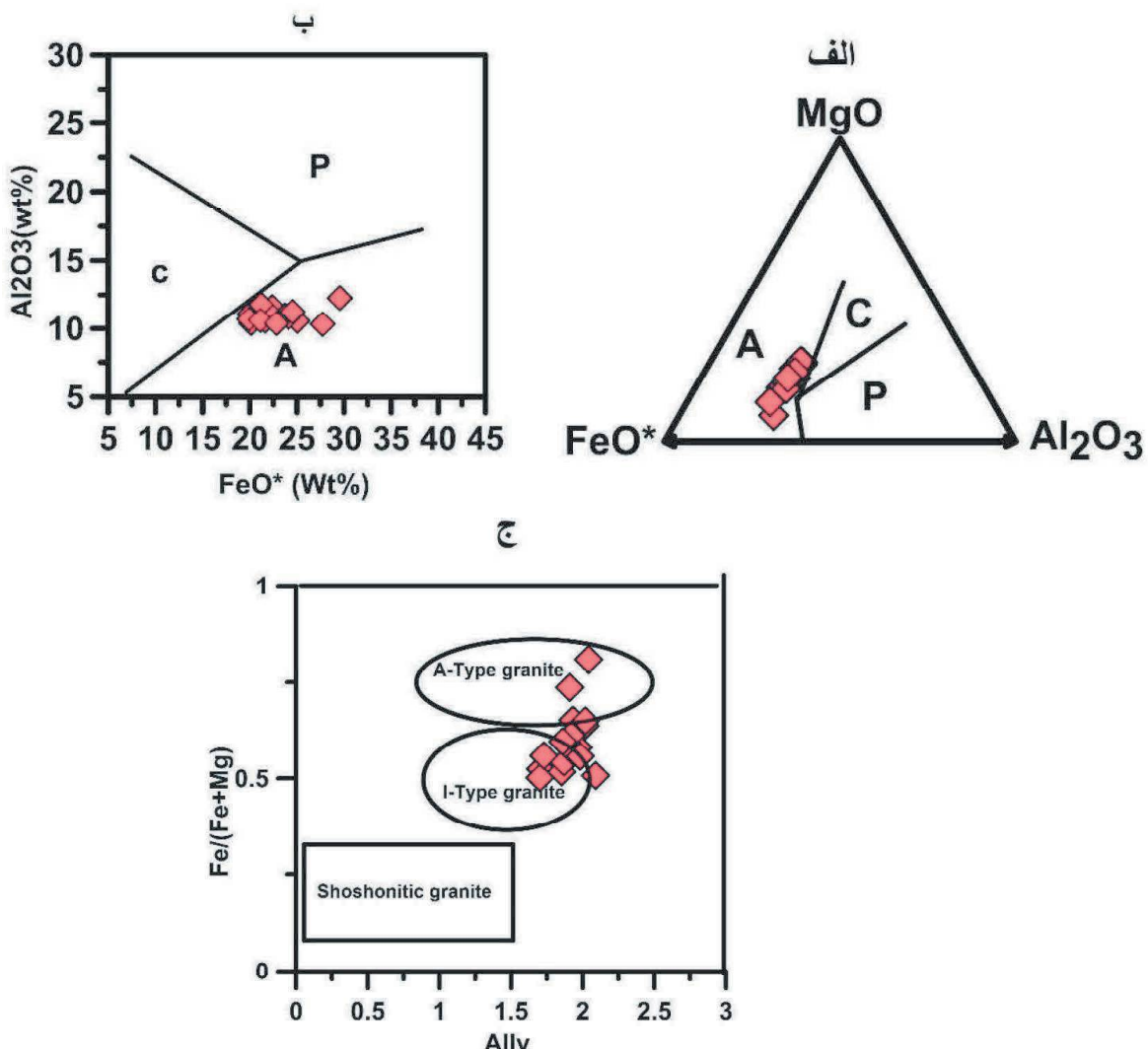
تأثیر می‌کند. Jiang و همکاران (۲۰۰۲) بر اساس تغییرات  $\text{Al}^{IV}$  در مقابل  $(\text{Fe}+\text{Mg})/\text{Al}^{IV}$  گرانیت‌وئیدها را به سه گروه شوشونیت، نوع A و نوع A' تقسیم‌بندی کردند. بر اساس این تقسیم‌بندی، گرانیت‌وئید تویه-دروار در محدوده گرانیت نوع A قرار می‌گیرد (Jiang et al., 2002) (شکل ۷-ج).

بعلاوه، قرارگیری این سنگ‌ها در جایگاه ناکوهزابی و کششی نیز تأثیر می‌شود. طبیعت قلیابی ماقما، غنی‌شدگی از عناصر لیتوفیل بزرگ‌یون (LILE)، مقادیر بالای عناصر باشدت میدان بالا (HFSE) در مقایسه با دیگر گرانیت‌وئیدها، داشتن  $\text{CaO}$  و  $\text{MgO}$  پایین، مقدار بالای  $\text{FeO}/\text{MgO}$  و غالباً بودن کانی‌های غنی از آهن، بالا بودن  $\text{Al}/\text{Al}_2\text{O}_3$  و قرارگیری در موقعیت گرانیت‌وئیدهای نوع A در نمودارهای زمین‌ساختی، حاکی از ویژگی گرانیت‌وئیدی نوع A توده تویه-دروار است (Naderi et al., 2018).

سنگ‌های گرانیت‌وئیدی را به سه گروه تقسیم می‌کند: A) سنگ‌های قلیابی و ناکوهزابی، (P) سنگ‌های برآلومین که بیوتیت‌های آنها غنی از آلومینیم بوده و به سمت قطب سیدروفیلی تمایل دارند و معمولاً همراه مسکویت یا دیگر کانی‌های آلومینوسیلیکاته مثل گارنت، آندالوزیت و یا کربیریت هستند. گرانیت‌وئیدهای برخورده نوع S در این گروه قرار می‌گیرند. (C) گرانیت‌وئیدهای کوهزابی آهکی-قلیابی نوع A که سرشار از منیزیم هستند و همراه آمفیبول کلسیم‌دار و یا پیروکسن کلسیم‌دار وابسته به فروزانش دیده می‌شوند. در این نمودار بیوتیت‌های توده گرانیت‌وئیدی تویه-دروار در محدوده قلیابی ناکوهزابی قرار می‌گیرند (Abdel-Rahman, 1994) (شکل ۷-الف و ب). مطالعه بر اساس شیمی کانی آمفیبول و شیمی سنگ کل سری ماقمایی و محیط تکتونیکی را Naderi et al. (2018)



شکل ۷. تعیین سری ماقمایی توده گرانیت‌وئیدی تویه-دروار بر اساس ترکیب شیمیایی بیوتیت، (الف) (Nachit et al., 1985) و (ب) (Abdel-Rahman, 1994)



شکل ۷. نمودارهای طبقه‌بندی جایگاه زمین ساختی گرانیتوئید توبه دروار با استفاده از ترکیب بیوتیت (پهنه A: مناطق کششی، پهنه B: مناطق فروانش، پهنه P: مناطق برخوردی). شکل (الف و ب) (Abdel-Rahman, 1994)، (ج) تقسیم‌بندی براساس نمودار (Jiang et al., 2002)

### زمین فشارسنگی با استفاده از ترکیب بیوتیت

بیوتیت افزایش می‌یابد (Uchida et al., 2007). این امر نشان می‌دهد که مقدار آلومنینیم کل بیوتیت در سنگ‌های گرانیتی می‌تواند برای زمین فشارسنگی مورد استفاده قرار گیرد. همچنین فشار را می‌توان از معادله تجربی  $P(Kb) = 3.03^{*} \text{AlT} - 6.53 (\pm 0.33)$  به دست آورد. ارتباط بین فشار انجماد و مقدار آلومنینیم کل بیوتیت در توده گرانیتوئیدی توبه-دروار نیز مورد بررسی قرار گرفت و یک انتباطی مثبت بین این دو دیده شد (شکل ۸-الف). از این روش برای تعیین فشار تبلور بیوتیت در توده گرانیتوئیدی توبه-دروار استفاده شد و مشخص گردید که فشار حاکم بر

فشارسنگی بر اساس محتوای آلومنینیم کل در بیوتیت برای اولین بار توسط Uchida et al. (2007) برای تعدادی از سنگ‌های گرانیتی ژاپن به کار برده شد. برای تأیید این فرض، پژوهشگران داده‌های مربوط به فشار انجماد در مناطق مختلف گرانیتی را که از قبل با روش‌های دیگری مثل فشارسنگی با آمفیبول (Thomas and Ernest, 1990) و فشارسنگی با اسفالریت به دست آمده بود با محتوای آلومنینیم کل بیوتیت مقایسه کردند و متوجه شدند که مقدار آلومنینیم کل بیوتیت در سنگ‌های گرانیتی به فشار انجماد بستگی دارد. با افزایش فشار انجماد، محتوای آلومنینیم کل

۸-ب). دماسنجدی براساس مقدار  $Ti$  موجود در بیوتیت توسط Henry et al. (2005) بنا شده است. با استفاده از رابطه  $T = [ln(Ti) - a - c(X_{Mg})^3]/b^{0.333}$  می‌توان دما را محاسبه کرد. در این رابطه، دما بر حسب درجه سانتی‌گراد بهنجارشده به ۲۲ اکسیژن) است و این رابطه در شرایط بدون کانی‌زایی در فشار بالای ۳ کیلو بار تشکیل می‌شوند. در این روش، مقدار آلمینیم کل بیوتیت در سنگ‌های گرانیتی می‌تواند به عنوان یک شاخص مفید برای اکتشاف نهشته‌های کانی‌زایی گرمابی در سنگ‌های گرانیتی مورد استفاده قرار گیرد. وجود نهشته‌های آهن، سرب و روی در اطراف توده گرانیتوئیدی تؤیه دروار می‌تواند بیانگر فشارهای کمتر از یک کیلو بار برای انجام آن باشد.

جدول ۲. ضرایب دماسنجدی با استفاده از مقدار تیتانیم موجود در بیوتیت (Henry et al., 2005)

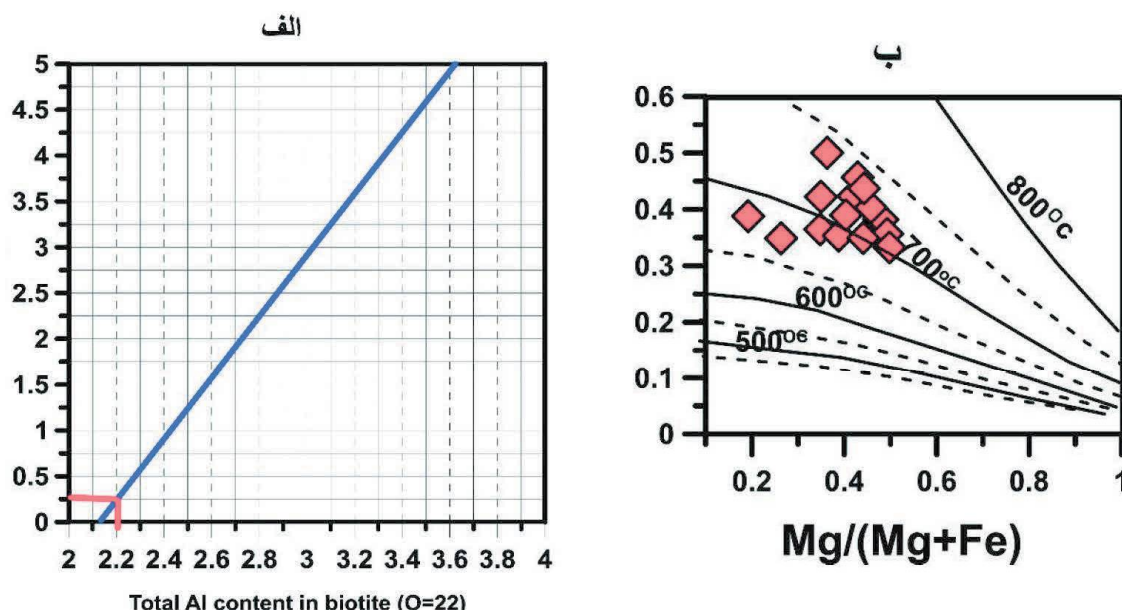
Coefficient	a	b	c
Value	2.3594	4.65E-09	-1.728

بنابراین براساس این دماسنجدی (شکل ۸-ب) دمای توقد تبادل و برقراری تعادل در گرانیتوئید تؤیه دروار ۶۵۰-۷۳۰ درآورده است.

تبالور توده کمتر از ۱ کیلو بار بوده است. همچنین براساس مطالعات فشارسنجدی بیوتیت توسط Uchida et al. (2007) نهشته‌های سرب-روی و مولیبدن در فشار کمتر از ۱ کیلو بار، نهشته‌های مس-آهن و قلع در فشار ۱-۲ کیلو بار و نهشته‌های نهشته‌های تنگستن در فشار ۲-۳ کیلو بار و نهشته‌های بدون کانی‌زایی در فشار بالای ۳ کیلو بار تشکیل می‌شوند. در این روش، مقدار آلمینیم کل بیوتیت در سنگ‌های گرانیتی می‌تواند به عنوان یک شاخص مفید برای اکتشاف نهشته‌های کانی‌زایی گرمابی در سنگ‌های گرانیتی مورد استفاده قرار گیرد. وجود نهشته‌های آهن، سرب و روی در اطراف توده گرانیتوئیدی تؤیه دروار می‌تواند بیانگر فشارهای کمتر از یک کیلو بار برای انجام آن باشد.

### دماسنجدی با استفاده از مقدار تیتانیم موجود در بیوتیت

با استفاده از مقدار  $Ti$  موجود در بیوتیت و همچنین نسبت  $Mg/Fe+Mg$  در آن می‌توان دما را محاسبه کرد (شکل

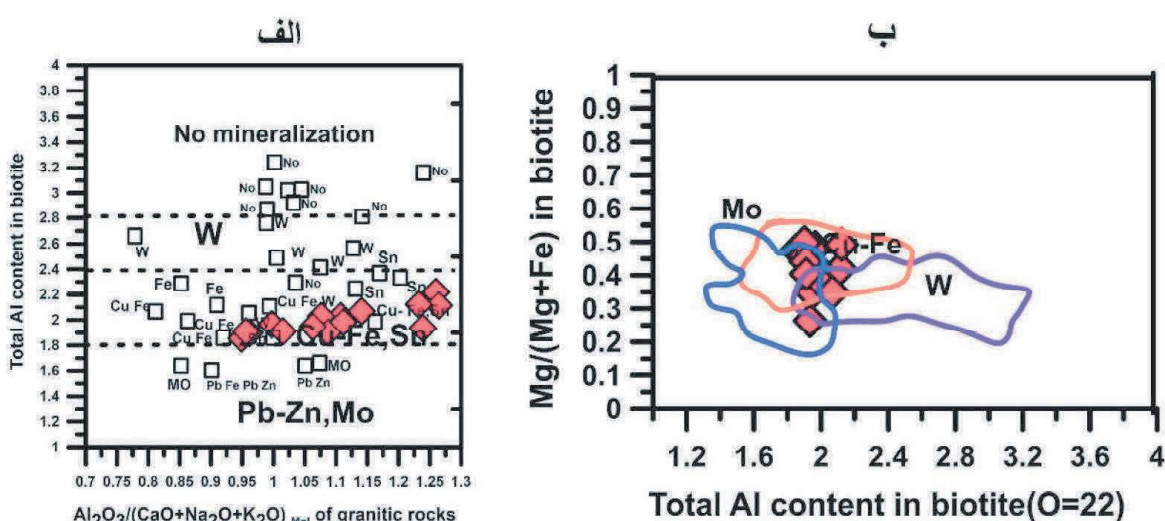


شکل ۸. (الف) زمین‌فشارسنجدی براساس شیمی کانی بیوتیت در توده گرانیتوئیدی تؤیه دروار. براساس این نمودار فشار کمتر از ۱ کیلو بار بدست آمده است (Uchida et al., 2007)، (ب) نمودار دماسنجدی براساس مقدار تیتانیم موجود در بیوتیت برای توده گرانیتوئیدی تؤیه دروار (Henry et al., 2005)

بیوتیت در سنگ‌های گرانیتی با فشار انجام‌داد افزایش یابد و این پارامتر به عنوان یک شاخص مفید برای برآورد فشار انجام‌دانها مفید باشد. یک احتمال وجود دارد که آلومینیوم کل بیوتیت با مقدار  $\text{Al}_2\text{O}_3/\text{CaO}+\text{Na}_2\text{O}+\text{K}_2\text{O}_{\text{lom}}$  سنگ‌های گرانیتی متناسب باشد. ازین‌رو ارتباط بین آلومینیوم کل بیوتیت و شاخص درجه اشباع آلومینیم ( $\text{Al}_2\text{O}_3/\text{CaO}+\text{Na}_2\text{O}+\text{K}_2\text{O}_{\text{lom}}$ ) سنگ‌های گرانیتی بررسی شده است. (ارتباط آلومینیوم کل بیوتیت با شاخص آلومینیوم سنگ‌های گرانیتی نشان داده شده است (شکل ۹-الف). در این شکل همبستگی مثبتی بین آن‌ها مشاهده می‌شود. آلومینیوم کل بیوتیت به ترتیب در سنگ‌های گرانیتی با کانی‌زایی سرب-روی و مولیبدن، مس-آهن و قلع، تنگستن و سنگ‌های گرانیتی بدون کانی‌زایی افزایش می‌باید. وجود رگمه‌های معدنی از اکسیدها و هیدروکسیدهای آهن و منگنز، فلوریت، باریت، سرب و روی در سنگ توده نفوذی مورد مطالعه بیانگر آن است که همانند دیگر موارد مشابه در جهان، ترکیب شیمیایی بیوتیت در این توده نیز می‌تواند نشان‌دهنده توان کانی‌زایی آن باشد (شکل ۹-ب).

### ارتباط بین مقدار Al کل در بیوتیت در سنگ‌های گرانیتی و نوع فلز زایی

برای نشان دادن تفاوت در مقدار آلومینیوم کل بیوتیت و نوع کانی‌زایی، تجزیه شیمیایی روی بیوتیت سنگ‌های گرانیتی توده تویه-دروار انجام شد (جدول ۱). ارتباط بین آلومینیوم کل بیوتیت و نسبت‌های مولی  $\text{Mg}/(\text{Mg}+\text{Fe})$  بیوتیت در سنگ‌های گرانیتی توده تویه-دروار با نوع فلز نشان داده شد. به نظر می‌رسد که مقدار آلومینیوم کل بیوتیت با افزایش عمق انجام‌داد منطبق باشد. همان‌گونه که در شکل ۹ دیده می‌شود، مقدار آلومینیوم کل بیوتیت در سنگ‌های گرانیتی همراه با نهشته‌های تنگستن و بدون کانی‌زایی، بیشتر از آلومینیوم کل بیوتیت در گرانیت‌وئیدهای با نهشته‌های  $\text{Pb}-\text{Zn}$ ,  $\text{Sn}$ ,  $\text{Cu}-\text{Fe}$ ,  $\text{Mo}$  است. Nakano and Ishihara (2003) با بررسی ارتباط نزدیک سنگ‌های درونی پیشنهاد کرد که نهشته‌های تنگستن در یک محیط عمیق تشکیل می‌شوند که با بیشترین مقدار آلومینیوم کل بیوتیت در سنگ‌های گرانیتی نیز منطبق است. به این ترتیب، به نظر می‌رسد که مقدار آلومینیوم کل



شکل ۹. موقعیت بیوتیت‌های توده گرانیت‌وئیدی تویه‌دروار در نمودارهای (الف) رابطه بین شاخص آلومین گرانیت‌ها با مقدار آلومینیوم کل بیوتیت برای تعیین نوع کانی‌زایی در سنگ‌های گرانیت‌وئیدی (Uchida et al., 2007)، (ب) نمودار محتوای  $\text{Al}_{\text{tot}}$  بیوتیت در مقابل  $\text{Mg}/(\text{Mg}+\text{Fe})^{(2)}$  برای تعیین نوع کانی‌زایی احتمالی در گرانیت‌وئیدها (Uchida et al., 2007)

## نتیجه‌گیری

- دانشکده علوم، دانشگاه صنعتی شاهرود، ۱۲۸
- درویشزاده، ع.، ۱۳۸۵. زمین‌شناسی ایران، چینه‌شناسی، تکتونیک، دگرگونی و مagmaتیسم، چاپ دوم، انتشارات امیرکبیر، تهران، ۴۳۴.
- رستمی پایدار، ق.، ۱۳۸۰. آنالیز رخساره، ژئوشیمی و نزن کانسار فلورین میلا کوه-توبه در سازند سلطانیه، پایان نامه کارشناسی ارشد، دانشگاه تربیت مدرس، ۱۵۲.
- سعیدی، ع. و اکبرپور، م.ر، ۱۳۷۱. نقشه زمین‌شناسی ورقه ۱:۱۰۰۰۰۰ کیاسر، سازمان زمین‌شناسی و اکتشافات معدنی ایران.
- قاسمی، ح. و خانعلیزاده، ع.، ۱۳۹۱. گرانیتوئید نوع A توبه دروار، جنوب باختر دامغان: نشانه‌ای از مagmaتیسم حوضه کشی پالئوتیس در پالئوزوئیک زیرین البرز، مجله بلورشناسی و کانی‌شناسی ایران، سال بیستم، ۱-۲۴.
- قوچی اصل، ا.، ۱۳۸۳. رخساره محیط رسوبی سازند دروار، جنوب باختر دامغان، پایان نامه کارشناسی ارشد، دانشگاه تهران، ۱۵۲.
- لاسمی، ی. و امین رسولی، ۱۳۸۳، ۰.۵. رخساره‌های کربناته در واحد شیلی سازند لalon: یافته‌های نو در ناحیه توبه-دروار (جنوب باختری دامغان)، فصلنامه علوم زمین، سال دوازدهم، ۵۴، ۶۹-۷۹.
- لاسمی، ی.، ۱۳۷۹. رخساره‌ها، محیط رسوبی، چینه نگاری سکانسی نهشته سنگ‌های پرکامبرین بالایی و پالئوزوئیک ایران، سازمان زمین‌شناسی و اکتشافات معدنی کشور، ۷۸، ۱۸۰.
- لاسمی، ی.، ۱۳۷۹. رخساره‌های کربناته دریای کم‌ژرف در واحد شیلی سازند لalon: یافته‌های نو در منطقه توبه-دروار، باختر البرز خاوری. خلاصه مقالات نوزدهمین گردهمابی علوم زمین.

- Abbott, R. and Clarke, D.B., 1979. Hypothetical liquidus relationships in the subsystem  $\text{Al}_2\text{O}_3$ -FeO-MgO projected from quartz, alkali feldspar and plagioclase for a  $(\text{H}_2\text{O})_{\text{or}} = 1$ . The Canadian Mineralogist 17, 549-560.
- Abdel-Rahman, A.-F.M., 1994. Nature of biotites from alkaline, calc-alkaline, and peraluminous magmas. Journal of Petrology 35, 525-541.
- hgBuda, G., Koller, F., Kovács, J. and Ul-

توده گرانیتوئیدی توبه دروار در جنوب البرز خاوری به صورت استوک مانند در داخل آهک‌ها و دولومیت‌های استروماتولیت‌دار سازند باروت و همچنین به صورت سیل و دایک در داخل سازند لalon نفوذ کرده است. این توده سبب بروز کانی‌زایی آهن-منگنز، فلورور و باریت در محل تماس با سازند باروت شده است. براساس مطالعات میکروسکوپی ترکیب این توده کوارتز-مونزونیت، مونزونیت و مونزودیوریت است و دارای کانی‌های اصلی پلاژیوکلاز، آلکالی فلدسپار، کوارتز، بیوتیت و هورنبلند و همچنین کانی‌های فرعی ایلمینیت، مگنتیت، زیرکن، آپاتیت، تیتانیت و پیریت است. سریسیت، اپیدوت، کلسیت و کلریت، کانی‌های ثانویه این توده هستند. بافت شاخص سنگ‌های توده شامل گرانوفیری، گرافیک و میرمیکیتی است. شیمی کانی بیوتیت در این توده بیانگر ترکیب بیوتیت آهن‌دار، قلیابی، ناکوهزایی و محیط کششی برای آن است. به کارگیری روش دما‌سنجی براساس تیتانیم موجود در بیوتیت در سنگ‌های گرانیتوئیدی توبه-دروار، بیانگر دمای ۶۷۰ تا ۷۳۰ درجه سانتی‌گراد برای جایگیری نهایی و توقف تبادل و تعادل نهایی آن است. به کارگیری فشار-سنگی با استفاده از آلومینیم کل بیوتیت نیز نشانگر فشارهای کمتر از ۱ کیلوبار برای تبلور بیوتیت است. وجود رگه‌های معدنی از اکسیدها و هیدروکسیدهای آهن و منگنز، فلوریت، باریت، سرب و روی در سنگ میزان این توده نیز شاهدی بر راهگشا بودن ترکیب بیوتیت برای استفاده در بررسی توان کانه‌زایی این توده است.

## منابع

- امین رسولی، ۰.۵، لاسمی، ی. و ظاهری، ش.، ۱۳۹۳. چینه نگاری سکانسی بخش‌های ۱-۳ میلا خاور البرز مرکزی، نشریه علوم زمین، دوره ۲۳، ۹۱، ۲۲-۲۵.
- امین رسولی، ۰.۵، ۱۳۷۸. بررسی میکروفاسیس‌ها، محیط رسوبی و چینه‌شناسی توالی‌های واحد شیلی و کوارتزیت بالایی سازند لalon و عضو ۱ و ۲ سازند میلا در البرز شرقی. پایان نامه کارشناسی ارشد، دانشگاه تربیت معلم، ۱۷۸.
- خانعلیزاده، ع.، ۱۳۸۴. پتروژئو-ژئوشیمی توده کوارتز-مونزونیتی توبه دروار، پایان نامه کارشناسی ارشد،

- rych, J., 2004. Compositional variation of biotite from Variscan granitoids in Central Europe: a statistical evaluation. *Acta Mineralogica-Petrographica*, Szeged 45, 21–37.
- Brown, M., 2001. Orogeny, migmatites and leucogranite: a review, Proceeding of Iddian Academy of Sciences, Earth Planetary Sciences, 110, 313–336.
  - Deer, W.A., Howie, R. and Zussman, J., 1992. An introduction to the rock-forming minerals. Longman Scientific and Technical Hong Kong, 694.
  - Foster, M.D., 1960. Interpretation of the composition of trioctahedral micas, 11–46.
  - Henry, D.J., Guidotti, C.V. and Thomson, J.A., 2005. The Ti-saturation surface for low-to-medium pressure metapelitic biotites: Implications for geothermometry and Ti-substitution mechanisms. *American Mineralogist* 90, 316–328.
  - Jiang, Y.-H., Jiang, S.-Y., Ling, H.-F., Zhou, X.-R., Rui, X.-J. and Yang, W.-Z., 2002. Petrology and geochemistry of shoshonitic plutons from the western Kunlun orogenic belt, Xinjiang, northwestern China: implications for granitoid geneses. *Lithos* 63, 165–187.
  - Morgan, G.B. and London, D., 2012. Process of granophyre crystallization in the Long Mountain Granite, southern Oklahoma. *Geological Society of America Bulletin* 124, 1251–1261.
  - Nachit, H., Ibhi, A., Abia, E. H. and Ohoud, M.B., 2005. Discrimination between primary magmatic biotites, reequilibrated biotites and neoformed biotites. *Comptes Rendus Geoscience* 337, 1415–1420.
  - Nachit, H., Razafimahefa, N., Stussi, J.-M. and Carron, J.-P., 1985. Composition chimique des biotites et typologie magmatique des granitoides. *Comptes rendus de l'Académie des sciences. Série 2, Mécanique, Physique, Chimie, Sciences de l'univers, Sciences de la Terre* 301, 813–818.
  - Naderi, A., Ghasemi, H., Santos, J. F., Rocha, F., Griffin, W. L., Shafaii Moghadam, H. and Papadopoulou, L., 2018. Petrogenesis and tectonic setting of the Touyeh-Darvar Granitoids (NE Iran): constraints from zircon U-Pb geochronology and Sr-Nd isotope geochemistry», *Lithos*, 318–319, 494–508.
  - Nakano, T. and Hayashi, K. (eds.) Resource and environmental geology. Society of Resource Geology, Tokyo, 23–34 (in Japanese)
  - Nakano, T. and Ishihara, S., 2003. Geochemical characteristics of the Akiyoshi limestones, Japan and their bearing on exploration for blind skarn deposits. *Resource Geology* 53, 29–36.
  - Partin, E., Hewitt, D. and Wones, D., 1983. Quantification of ferric iron in biotite, *Geol. Soc. Am. Abstr. Program*, 659.
  - Pitcher, W.S., 1997. The evolution of the granitic texture: a continuum of crystal growth, *The Nature and Origin of Granite*. Springer, 68–91.
  - Putirka, K.D., 2008. Thermometers and barometers for volcanic systems. *Reviews in Mineralogy and Geochemistry* 69, 61–120.
  - Rieder, M., Cavazzini, G., D'yakonov, Y.S., Frank-Kamenetskii, V., Gottardi, G., Guggenheim, S., Koval, P.V., Müller, G., Neiva, A.M. and Radoslovich, E.W., 1999. Nomenclature of the micas. *Mineralogical Magazine* 63, 267–296.
  - Shabani, A.A., Lalonde, A.E. and Whalen, J.B., 2003. Composition of biotite from granitic rocks of the Canadian Appalachian orogen: a potential tectonomagmatic indicator? *The Cana-*

- dian Mineralogist 41, 1381–1396.
- Speer, J.A., 1984. Micas in igneous rocks. Reviews in Mineralogy and Geochemistry 13, 299–356.
  - Stocklin, J., 1968. Structural history and tectonics of Iran: a review. American Association of Petroleum Geology Bulletin, 52, 1229–1258.
  - Thomas, W. and Ernst, W., 1990. The aluminium content of hornblende in calc-alkaline granitic rocks: A mineralogic barometer calibrated experimentally to 12 kbars. Fluid–Mineral Interactions: A Tribute to HP Eugster. Geochemical Society Special Publication 2, 59–63.
  - Uchida, E., Endo, S. and Makino, M., 2007. Relationship between solidification depth of granitic rocks and formation of hydrothermal ore deposits. Resource Geology 57, 47–56.
  - Vernon, R.H., 2004. A Practical Guide to Rock Microstructure. Cambridge University Press, 440.